

# ALL REALIZATIONS OF MÖBIUS' TORUS WITH 7 VERTICES

# TOUTES LES RÉALISATIONS DU TORE DE MÖBIUS AVEC SEPT SOMMETS

Jürgen Bokowski &  
Anselm Eggert

Department of Mathematics  
University Darmstadt  
D–6100 Darmstadt  
Germany

## ABSTRACT

We provide all geometric polyhedral realizations of Möbius' torus with 7 vertices. There are no simplicial realizations having a higher geometric symmetry than Császár's. We confirm two conjectures about the realization space of Möbius' torus posed by J. Reay. Above all, the article shows oriented matroids to be a useful tool for investigating polyhedral structures. ...

## 1. INTRODUCTION

This article can be viewed as a contribution to the more general framework of computational synthetic geometry: for a geometric object we are given some properties (e.g. the combinatorial list of all faces of a polyhedron), and we ask for a decision of whether the geometric object does exist as an embedding in Euclidean space of fixed dimension. In the following oriented matroids play a crucial role. Introducing oriented matroids in this context has proven to be useful in many instances, see [9].

## RÉSUMÉ

Nous présentons toutes les réalisations géométriques polyédriques du tore de Möbius avec sept sommets. Il n'existe pas de réalisation simpliciale possédant une plus grande symétrie géométrique que celle de Császár. Nous confirmons deux conjectures énoncées par J. Reay à propos de l'espace de réalisation du tore de Möbius. Par dessus tout, cet article montre que les matroïdes orientées sont des outils efficaces pour la recherche de structures polyédriques. ...

## 1. INTRODUCTION

On peut considérer cet article comme une contribution à la structure plus générale de la géométrie calculatoire synthétique : étant données certaines propriétés d'un objet géométrique (par ex. la liste combinatoire de toutes les faces d'un polyèdre), on cherche une règle de décision qui permettrait de déterminer si l'objet géométrique peut exister comme un plongement dans un espace euclidien de dimension donnée. Dans ce qui suit, les matroïdes orientées jouent un rôle crucial. L'introduction dans ce contexte des matroïdes orientées s'est avérée utile dans bien des cas, voir [9].

The combinatorial description of a torus with seven vertices was first given by Möbius in 1861 [17]. It is not known whether Möbius knew a *polyhedral realization*, i.e. a polyhedral realization without self-intersections. Reinhard's version with 7 vertices of a cube given in 1885 [19] has a symmetry of order 3. It cannot be considered as a polyhedral realization in our sense because it must have self-intersections as a by-product of our investigations.

Császár's realization was published in 1949 [11]. It has a symmetry of order 2, and this seems to be the first polyhedral realization of Möbius' torus at all. Császár did not mention Möbius' result. Since Császár, different realizations of Möbius' torus were found, see e.g. Grünbaum [13, p.253], Altshuler [1]. They were used as examples for different purposes, see e.g. Sarkaria [20], and to have one particular realization at all seemed to be sufficient in these papers.

In this article, we present a systematic and complete description of all types of Möbius' torus with an emphasis on symmetric polyhedral realizations. We confirm two conjectures about the realization space of Möbius' torus posed by J. Reay in [18], Problems 18.A3 and 18.A5. Among our results we have in particular: there are no realizations having a higher geometric symmetry than Császár's.

We start with the combinatorial description of Möbius' torus in Section 2. Using a computer we construct those (allowable) simplicial oriented matroids for Möbius' torus which do not contain certain circuits, see Section 3. For all these types, a realization can be found.

The different types can be classified in Section 4 according to symmetry and the facial structure of their convex hull. An isotopy result respecting the symmetry of the given type will be given in Section 5.

It is convenient to describe the different types of realized Möbius' tori as vertices in a graph. One connected component of this graph is described in more detail in Section 5. In Section 6 we prove that, in order to find all (simplicial and non-simplicial) oriented matroids, it suffices to consider the simplicial ones first.

La description combinatoire d'un tore à sept sommets a d'abord été donnée par Möbius en 1861 [17]. On ne sait pas si Möbius connaissait une *réalisation polyédrique*, c'est-à-dire une réalisation polyédrique sans auto-intersection. La version de Reinhard, en 1885 [19], avec sept sommets d'un cube, possède une symétrie d'ordre 3. On ne peut la considérer comme une réalisation polyédrique selon notre définition car, en conséquence de nos recherches, elle doit avoir des auto-intersections.

La réalisation de Császár a été publiée en 1949 [11]. Elle possède une symétrie d'ordre 2, et semble être la toute première réalisation polyédrique du tore de Möbius. Császár n'avait pas mentionné le résultat de Möbius. Depuis Császár, on a trouvé diverses réalisations du tore de Möbius; voir, par exemple, Grünbaum [13, p.253], Altshuler [1]. On les a utilisées à titre d'exemples dans différents buts, voir, par exemple, Sarkaria [20], et dans ces articles, il apparaît suffisant de ne présenter qu'une réalisation particulière.

On présente ici une description systématique et complète de tous les types de tores de Möbius en privilégiant les réalisations polyédriques symétriques. On confirme deux conjectures concernant l'espace de réalisation du tore de Möbius avancées par J. Reay dans [18], problèmes 18.A3 et 18.A5. Parmi nos résultats, on a en particulier celui-ci: il n'existe pas de réalisation possédant une plus grande symétrie géométrique que celle de Császár.

On débute, à la section 2, avec la description combinatoire du tore de Möbius. En utilisant l'ordinateur, on construit les matroïdes orientées simpliciales (admissibles) pour le tore de Möbius qui ne contient pas certains circuits, voir section 3. Pour tous ces types, on peut trouver une réalisation.

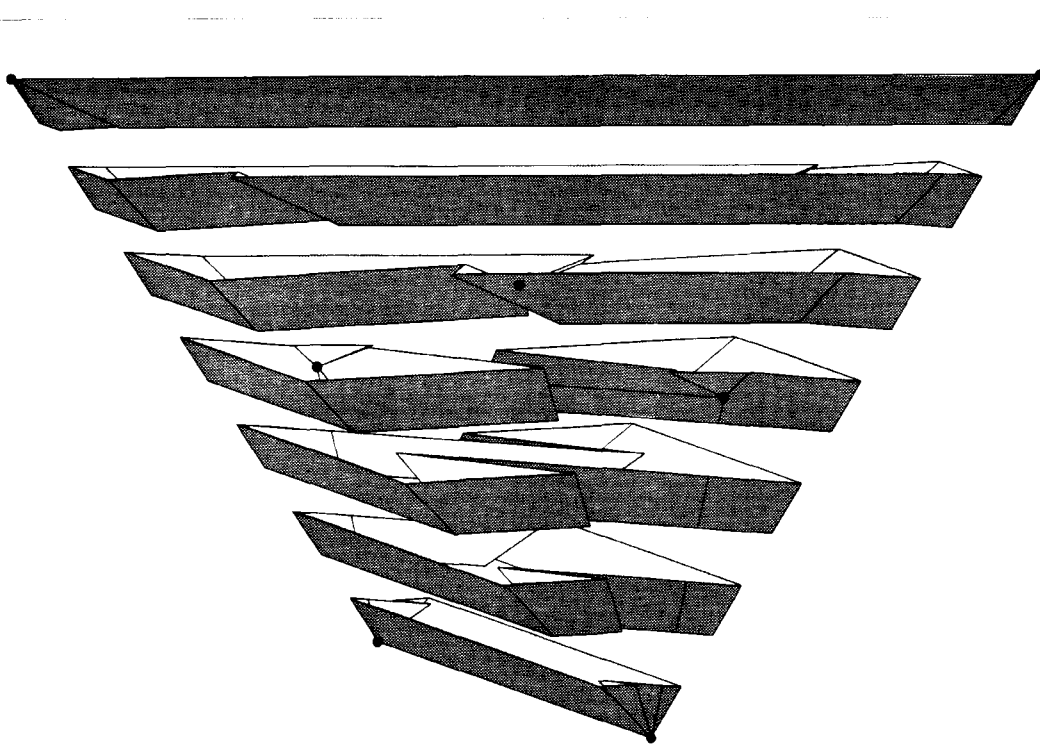
On peut classifier les différents types à la section 4 selon leur symétrie et la structure de faces de leur enveloppe convexe. On trouvera à la section 5 un résultat d'isotopie respectant la symétrie du type donné.

Il est utile de décrire les différents types de tores de Möbius réalisés

In the case of triangulated tori, a Steinitz type question is open, see e.g. Barnette [5]. Another question is the following: can the complete graph  $K_{12}$  be embedded as an edge graph of a geometrical polyhedral 2-manifold (without self-intersections) in 3-space? We think that the methods presented here might be useful in some of those problems as well.

A list of all simplicial Möbius oriented matroids is given in the Appendix. A video tape of typical symmetric realizations of Möbius' torus was produced in 1986 by Jürgen Richter-Gebert from Darmstadt (computer graphics), the authors (coordinates), and U. Simon from Siegen (video production). We thank J.M. Wills and the DFG for some financial support.

## **FIGURE 1**



comme des sommets dans un graphe. Une composante connexe de ce graphe est décrite de façon plus détaillée dans la section 5. On prouve, à la section 6, que si l'on veut trouver toutes les matroïdes orientées (simpliciales ou non), il suffit de considérer en premier lieu celles qui sont simpliciales.

Dans le cas des tores triangulés, une question du type de Steinitz demeure ouverte, voir par exemple Barnette [5]. Une autre question est la suivante: peut-on plonger le graphe complet  $K_{12}$  considéré comme le graphe d'arêtes d'une 2-variété géométrique polyédrique (sans auto-intersection) dans l'espace à trois dimensions? Nous pensons que les méthodes présentées ici peuvent aussi être utiles dans l'approche de certains de ces problèmes.

On trouvera en annexe une liste de toutes les matroïdes orientées simpliciales de Möbius. Un film vidéo présentant les réalisations symétriques typiques du tore de Möbius a été produit en 1986 par Jürgen Richter-Gebert de Darmstadt (graphisme sur ordinateur), les auteurs (coordonnées) et U. Simon de Siegen (production vidéo). Nous tenons à remercier J.M. Wills et le DFG pour le support financier.

Lors de nos recherches, nous avons eu plusieurs discussions avec différentes personnes. Nous les remercions toutes pour ces discussions stimulantes; nous remercions tout particulièrement Christoph Beck, Boris Bokowski, Ulrich Brem, Jürgen Richter-Gebert et Bernd Sturmfels.

## 2. DESCRIPTION COMBINATOIRE DU TORE DE MÖBIUS

Le complexe combinatoire  $C_M$  du tore de Möbius est donné par la liste suivante de triangles, à comparer à Möbius [17, II, p.552]:

During our investigations we had a lot of discussions with different people. We thank all of them for the stimulating discussions, especially we thank Christoph Beck, Boris Bokowski, Ulrich Brehm, Jürgen Richter-Gebert and Bernd Sturmfels.

## 2. COMBINATORIAL DESCRIPTION OF MÖBIUS' TORUS

The combinatorial complex  $C_M$  of Möbius' torus is given by the following list of triangles, compare Möbius [17, II p.552].

124	134	1	2	3	4	5	6	7	1
235	245	4	5	6	7	1	2	3	4
346	356								
457	467								
561	571								
672	612								
713	723								

We denote by  $H_{C_M}$  the group of automorphisms of  $C_M$ . Its order is 42 and it is generated by  $\tau = (1234567)$  and  $\rho = (132645)$ . Because of this high order of combinatorial symmetry compared with Császár's realization (which has a geometric symmetry of order 2), a natural question arose whether there is a realization admitting a higher geometric symmetry.

One method to obtain a realization of Möbius' torus at all was described in Grünbaum [13, p.253] and in more detail in Altshuler [2] by means of Schlegel diagrams of cyclic polytopes. Our aim in the present paper is to give all types of realizations and especially the symmetric ones. This result was found by determining at first all oriented matroids corresponding to possible realizations. This description is given in Section 3.

## 3. ORIENTED MATROIDS AND MATROID MANIFOLDS

A finite ordered set of points  $E = \{1, 2, \dots, n\}$  in the  $(d-1)$ -dimensional space  $\mathbb{R}^{d-1}$  (for the sake of simplicity in general position) written in terms of homogeneous coordinates defines an  $(n \times d)$ -matrix over  $\mathbb{R}$ .

On désignera par  $H_{C_M}$  le groupe des automorphismes de  $C_M$ . Son ordre est 42 et il est engendré par  $\tau = (1234567)$  et  $\rho = (132645)$ . Étant donné son grand ordre de symétrie combinatoire par rapport à la réalisation de Császár (qui possède une symétrie géométrique d'ordre 2), il est naturel de se poser la question de l'existence d'une réalisation admettant une plus grande symétrie géométrique.

On trouve dans Grünbaum [13, p.253] et avec plus de détails dans Altshuler [2], une méthode permettant d'obtenir une réalisation du tore de Möbius par l'utilisation des diagrammes de Schlegel de polytopes cycliques. Notre but ici est de donner tous les types de réalisations et en particulier celles qui sont symétriques. Ce résultat a été trouvé en déterminant en premier lieu toutes les matroïdes orientées correspondant aux réalisations possibles. Cette description est donnée à la section 3.

## 3. MATROÏDES ORIENTÉES ET VARIÉTÉS MATROÏDES

Un ensemble fini ordonné de points  $E = \{1, 2, \dots, n\}$  dans l'espace  $\mathbb{R}^{d-1}$  de dimension  $(d-1)$  (en position générale pour des raisons de simplicité), écrit en termes de coordonnées homogènes définit une matrice de dimension  $(n \times d)$  sur  $\mathbb{R}$ .

Le signe d'un sous-déterminant de dimension  $(d \times d)$ , formé des lignes  $(\lambda_1, \dots, \lambda_d)$  de cette matrice (où  $\lambda_i \in \{1, \dots, n\}$ ), sera noté par  $\text{signe}[\lambda_1, \dots, \lambda_d]$ . Ce signe nous informe de l'orientation du simplexe de sommets  $(\lambda_1, \dots, \lambda_d)$ . En particulier, ceci définit pour tout  $k \in \{1, \dots, n\}$  le côté du plan orienté  $\text{aff}(\lambda_1, \dots, \widehat{\lambda_k}, \dots, \lambda_d)$  sur lequel se situe le point  $\lambda_k$ .

L'information contenue dans  $\text{signe}[\lambda_1, \dots, \lambda_d]$  pour tous les sous-ensembles de  $d$  éléments de  $(\lambda_1, \dots, \lambda_d)$  de  $E$  est appelé la matroïde orientée de l'ensemble  $E$ .

Il apparaît qu'une définition plus générale d'une matroïde orientée n'est pas seulement commode ; c'est la définition appropriée pour plusieurs raisons. La définition 3.1 est l'une de toutes les définitions possibles. L'ensemble de tous les  $d$ -tuples ordonnés de  $n$  éléments est noté par  $\Lambda(n, d) := \{(\lambda_1, \dots, \lambda_d) \mid 1 \leq \lambda_1 < \dots < \lambda_d \leq n\}$ .

The sign of a  $(d \times d)$ -subdeterminant formed of the rows  $(\lambda_1, \dots, \lambda_d)$  of this matrix (with  $\lambda_i \in \{1, \dots, n\}$ ) will be denoted by  $\text{sign}[\lambda_1, \dots, \lambda_d]$ . This sign tells us the orientation of the simplex with vertices  $(\lambda_1, \dots, \lambda_d)$ . In particular, this defines for every  $k \in \{1, \dots, n\}$  the side of the oriented plane  $\text{aff}(\lambda_1, \dots, \widehat{\lambda}_k, \dots, \lambda_d)$  on which the point  $\lambda_k$  lies.

The information contained in  $\text{sign}[\lambda_1, \dots, \lambda_d]$  for all  $d$ -element subsets of  $(\lambda_1, \dots, \lambda_d)$  of  $E$  is called the oriented matroid of the point set  $E$ .

It has turned out that a more general definition of an oriented matroid is not only convenient but the appropriate one for various reasons. One definition of all possible ones will be given in the Definition 3.1. The set of all ordered  $d$ -tuples of  $n$  elements will be denoted by  $\Lambda(n, d) := \{(\lambda_1, \dots, \lambda_d) \mid 1 \leq \lambda_1 < \dots < \lambda_d \leq n\}$ .

**3.1 Definition.** A mapping  $\chi: \Lambda(n, d) \rightarrow \{-1, 0, +1\}$  or its unique alternating extension  $\chi: \{1, \dots, n\}^d \rightarrow \{-1, 0, +1\}$  is called an *oriented matroid of rank  $d$  with  $n$  points*, if for all  $\lambda \in \Lambda(n, d+1)$  and for all  $\mu \in \Lambda(n, d-1)$  the set

$$\{(-1)^i \cdot \chi(\lambda_1, \dots, \widehat{\lambda}_i, \dots, \lambda_{d+1}) \cdot \chi(\mu_1, \dots, \mu_{d-1}, \lambda_i) \mid i \in \{1, \dots, d+1\}\},$$

either contains  $\{-1, +1\}$  or equals  $\{0\}$ . The oriented matroid is called *simplicial* if  $\chi(\Lambda(n, d)) \subseteq \{-1, +1\}$ .

The dependencies between all  $(d \times d)$ -subdeterminants can be expressed in the form  $\sum_{i=1}^{d+1} (-1)^i [\lambda_1, \dots, \widehat{\lambda}_i, \dots, \lambda_{d+1}] [\mu_1, \dots, \mu_{d-1}, \lambda_i] = 0$ . This shows that the condition in Definition 3.1 is fulfilled whenever there exists a matrix of homogeneous coordinates,  $\chi(\lambda_1, \dots, \lambda_d) = \text{sign}[\lambda_1, \dots, \lambda_d]$ .

**3.2 Remark.** In the simplicial case, an oriented matroid can be defined to be a mapping  $\chi: \Lambda(n, d) \rightarrow \{-1, +1\}$  with the following property for its unique alternating extension  $\chi: \{1, \dots, n\}^d \rightarrow \{-1, +1\}$ : for all  $\sigma \in \Lambda(n, d-2)$  and for all  $\tau \in \Lambda(n, 4)$ , the set

$$\begin{aligned} & \{ \chi(\sigma_1, \dots, \sigma_{d-2}, \tau_1, \tau_2) \cdot \chi(\sigma_1, \dots, \sigma_{d-2}, \tau_3, \tau_4), \\ & -\chi(\sigma_1, \dots, \sigma_{d-2}, \tau_1, \tau_3) \cdot \chi(\sigma_1, \dots, \sigma_{d-2}, \tau_2, \tau_4), \\ & \chi(\sigma_1, \dots, \sigma_{d-2}, \tau_1, \tau_4) \cdot \chi(\sigma_1, \dots, \sigma_{d-2}, \tau_2, \tau_3) \} \end{aligned}$$

**3.1 Définition.** Une transformation  $\chi: \Lambda(n, d) \rightarrow \{-1, 0, +1\}$  ou son unique extension alternée  $\chi: \{1, \dots, n\}^d \rightarrow \{-1, 0, +1\}$  est appelée une *matroïde orientée de rang  $d$  à  $n$  points*, si pour tout  $\lambda \in \Lambda(n, d+1)$  et pour tout  $\mu \in \Lambda(n, d-1)$  l'ensemble

$$\{(-1)^i \cdot \chi(\lambda_1, \dots, \widehat{\lambda}_i, \dots, \lambda_{d+1}) \cdot \chi(\mu_1, \dots, \mu_{d-1}, \lambda_i) \mid i \in \{1, \dots, d+1\}\},$$

ou bien contient  $\{-1, +1\}$ , ou bien est égal à  $\{0\}$ . La matroïde orientée est dite *simpliciale* si  $\chi(\Lambda(n, d)) \subseteq \{-1, +1\}$ .

Les dépendances entre tous les  $(d \times d)$ -sous-déterminants peuvent être exprimées sous la forme  $\sum_{i=1}^{d+1} (-1)^i [\lambda_1, \dots, \widehat{\lambda}_i, \dots, \lambda_{d+1}] [\mu_1, \dots, \mu_{d-1}, \lambda_i] = 0$ . Ceci montre que la condition de la définition 3.1 est vérifiée en autant qu'il existe une matrice de coordonnées homogènes,  $\chi(\lambda_1, \dots, \lambda_d) = \text{signe}[\lambda_1, \dots, \lambda_d]$ .

**3.2 Remarque.** Dans le cas simplicial, une matroïde orientée peut être définie comme une application  $\chi: \Lambda(n, d) \rightarrow \{-1, +1\}$  avec la propriété suivante pour son unique extension alternée  $\chi: \{1, \dots, n\}^d \rightarrow \{-1, +1\}$ : pour tout  $\sigma \in \Lambda(n, d-2)$  et pour tout  $\tau \in \Lambda(n, 4)$ , l'ensemble

$$\begin{aligned} & \{ \chi(\sigma_1, \dots, \sigma_{d-2}, \tau_1, \tau_2) \cdot \chi(\sigma_1, \dots, \sigma_{d-2}, \tau_3, \tau_4), \\ & -\chi(\sigma_1, \dots, \sigma_{d-2}, \tau_1, \tau_3) \cdot \chi(\sigma_1, \dots, \sigma_{d-2}, \tau_2, \tau_4), \\ & \chi(\sigma_1, \dots, \sigma_{d-2}, \tau_1, \tau_4) \cdot \chi(\sigma_1, \dots, \sigma_{d-2}, \tau_2, \tau_3) \}, \end{aligned}$$

ou bien contient  $\{-1, +1\}$ , ou bien est égal à  $\{0\}$ .

**3.3 Définition.** On définit comme suit les *circuits* et les *cocircuits* d'une matroïde orientée. Pour  $\lambda \in \Lambda(n, d-1)$  et  $\mu \in \Lambda(n, d+1)$ , on définit  $C_\lambda^*, C_\mu \in \{-1, 0, +1\}^n$  comme

$$C_\lambda^*(i) := \chi(\lambda_1, \dots, \lambda_{d-1}, i) \quad \text{pour } i = 1, \dots, n$$

$$C_\mu(i) := \begin{cases} (-1)^i \chi(\mu_1, \dots, \widehat{\mu}_i, \dots, \mu_{d+1}) & \text{si } i = \mu_j \\ 0 & \text{autrement.} \end{cases}$$

Maintenant  $O(\chi) := \{\pm C_\mu \mid \mu \in \Lambda(n, d+1)\}$  est l'ensemble des circuits de  $\chi$  (les partitions de Radon dans le cas réalisable), et  $O^*(\chi) := \{\pm C_\lambda^* \mid \lambda \in \Lambda(n, d-1)\}$  est l'ensemble de tous les cocircuits de  $\chi$  (hyperplans dans le cas réalisable).

either contains  $\{-1,+1\}$  or equals  $\{0\}$ .

**3.3 Definition.** For an oriented matroid we define *circuits* and *cocircuits* as follows.

For  $\lambda \in \Lambda(n, d-1)$  and  $\mu \in \Lambda(n, d+1)$  define  $C_\lambda^*, C_\mu \in \{-1, 0, +1\}^n$  to be

$$\begin{aligned} C_\lambda^*(i) &:= \chi(\lambda_1, \dots, \widehat{\lambda_i}, \dots, \lambda_{d+1}) && \text{for } i = 1, \dots, n \\ C_\mu(i) &:= \begin{cases} (-1)^i \chi(\mu_1, \dots, \widehat{\mu_i}, \dots, \mu_{d+1}) & \text{if } i = \mu, \\ 0 & \text{otherwise.} \end{cases} \end{aligned}$$

Now  $\mathcal{C}(\chi) := \{\pm C_\mu \mid \mu \in \Lambda(n, d+1)\}$  is the set of circuits of  $\chi$  (Radon partitions in the realizable case), and  $\mathcal{C}^*(\chi) := \{\pm C_\lambda^* \mid \lambda \in \Lambda(n, d-1)\}$  is the set of all cocircuits of  $\chi$  (hyperplanes in the realizable case).

An oriented matroid  $\chi$  of rank  $d$  with  $n$  vertices will be called *affine* or *acyclic* if for all  $\lambda \in \Lambda(n, d+1)$  the set

$$\{(-1)^i \cdot \chi(\lambda_1, \dots, \widehat{\lambda_i}, \dots, \lambda_{d+1}) \mid i \in \{1, \dots, d+1\}\}$$

either contains  $\{-1,+1\}$  or equals  $\{0\}$ .

**3.4 Definition.** We call the pair  $(\chi, C_M)$  of an affine oriented matroid  $\chi: \Lambda(7, 4) \rightarrow \{-1, 0, +1\}$  and the combinatorial complex  $C_M$  a *matroid manifold of Möbius' torus* if for every pair of an edge  $\{i, j\}$  and a triangle  $\{k, l, m\}$  of the combinatorial complex  $C_M$ , there is no corresponding circuit  $X$  of  $\chi$  with  $X^+ := X^{-1}(\{-1\}) \subseteq \{i, j\}$  and  $X^- := X^{-1}(\{+1\}) \subseteq \{k, l, m\}$ , and  $X^+, X^- \neq \emptyset$ . Thus in the case of realizability of  $\chi$ , there are no self-intersections. For such a matroid manifold,  $\chi$  will be called *Möbius oriented matroid*.

Our definition of a matroid manifold generalizes the notion of a matroid polytope and can be extended to more general complexes.

**3.5 Definition.** With  $\mathcal{M}$  we denote the set of all matroid manifolds of Möbius' torus, and with  $\mathcal{M}_s$  the set of all simplicial matroid manifolds of Möbius' torus.

Given a permutation  $\sigma: \{1, \dots, n\} \rightarrow \{1, \dots, n\}$  and  $\lambda \in \{1, \dots, n\}^d$ , we

Une matroïde orientée  $\chi$  de rang  $d$  à  $n$  sommets sera dite *affine* ou *acyclique* si pour tout  $\lambda \in \Lambda(n, d+1)$  l'ensemble

$$\{(-1)^i \cdot \chi(\lambda_1, \dots, \widehat{\lambda_i}, \dots, \lambda_{d+1}) \mid i \in \{1, \dots, d+1\}\},$$

ou bien contient  $\{-1,+1\}$ , ou bien est égal à  $\{0\}$ .

**3.4 Définition.** Le couple  $(\chi, C_M)$  composé d'une matroïde orientée affine  $\chi: \Lambda(7, 4) \rightarrow \{-1, 0, +1\}$  et du complexe combinatoire  $C_M$  sera appelé variété matroïde du tore de Möbius si pour toute paire composée d'une arête  $\{i, j\}$  et d'un triangle  $\{k, l, m\}$  du complexe combinatoire  $C_M$ , il n'existe aucun circuit correspondant  $X$  de  $\chi$  avec  $X^+ := X^{-1}(\{-1\}) \subseteq \{i, j\}$  et  $X^- := X^{-1}(\{+1\}) \subseteq \{k, l, m\}$ , et  $X^+, X^- \neq \emptyset$ . Ainsi, dans le cas de la réalisabilité de  $\chi$ , il n'y a aucune auto-intersection. Pour une telle variété matroïde,  $\chi$  sera appelé une matroïde orientée de Möbius.

Notre définition d'une variété matroïde généralise la notion de polytope matroïde et peut être étendue à des complexes plus généraux.

**3.5 Définition.** On notera  $\mathcal{M}$ , l'ensemble de toutes les variétés matroïdes du tore de Möbius, et  $\mathcal{M}_s$  l'ensemble de toutes les variétés matroïdes simpliciales du tore de Möbius.

Étant donné une permutation  $\sigma: \{1, \dots, n\} \rightarrow \{1, \dots, n\}$  et  $\lambda \in \{1, \dots, n\}^d$ , on définit  $\sigma\lambda \in \{1, \dots, n\}^d$  par  $(\sigma\lambda)_i = \sigma(\lambda_i)$ . Avec une telle permutation  $\sigma$  et une matroïde orientée  $\chi$  à  $n$  sommets, on définit une nouvelle matroïde orientée  $\sigma\chi: \{1, \dots, n\}^d \rightarrow \{-1, 0, +1\}$  par  $\lambda \mapsto (\sigma\chi)(\lambda) := \chi(\sigma^{-1}(\lambda))$ .  $\sigma\chi$  représente la matroïde orientée  $\chi$  dont on aurait renommé les sommets selon  $\sigma$ . Le groupe de permutation  $S_n$  agit sur l'ensemble de toutes les matroïdes orientées de rang  $d$  à  $n$  sommets.

**3.6 Définition.** On dira que deux matroïdes orientées  $\chi$  et  $\chi'$  de rang  $d$  à  $n$  sommets sont *H*-équivalentes par rapport au sous-groupe  $H$  de  $S_n$ , si

$$\sigma\chi = +\chi' \quad \text{ou} \quad \sigma\chi = -\chi' \quad \text{pour un certain } \sigma \in H.$$

On s'intéressera particulièrement à la  $H_{C_M}$ -équivalence, par laquelle le groupe  $H_{C_M}$  des automorphismes du complexe combinatoire du

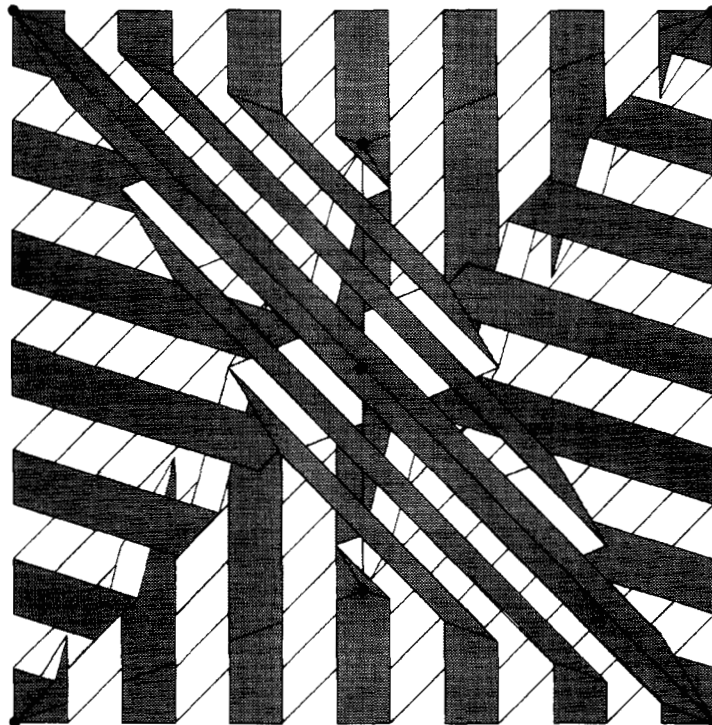
define  $\sigma\lambda \in \{1, \dots, n\}^d$  by  $(\sigma\lambda)_i = \sigma(\lambda_i)$ . For such a permutation  $\sigma$  and an oriented matroid  $\chi$  with  $n$  vertices, we define a new oriented matroid  $\sigma\chi: \{1, \dots, n\}^n \rightarrow \{-1, 0, +1\}$  by  $\lambda \mapsto (\sigma\chi)(\lambda) := \chi(\sigma^{-1}(\lambda))$ .  $\sigma\chi$  represents the oriented matroid  $\chi$  with renumbered vertices according to  $\sigma$ . The permutation group  $S_n$  acts on the set of all oriented matroids of rank  $d$  with  $n$  vertices.

**3.6 Definition.** We call two oriented matroids  $\chi, \chi'$  of rank  $d$  with  $n$  vertices  $H$ -equivalent with respect to the subgroup  $H$  of  $S_n$ , if

$$\sigma\chi = +\chi' \text{ or } \sigma\chi = -\chi' \text{ for some } \sigma \in H.$$

Especially, we are interested in  $H_{\text{c}_v}$ -equivalence, whereby the group  $H_{\text{c}_v}$  of automorphisms of the combinatorial complex of Möbius' torus is considered.

FIGURE 2



tore de Möbius est considéré.

À l'aide de l'ordinateur, on détermine toutes les variétés matroïdes du tore de Möbius qui sont des matroïdes orientés *simpliciales*.

**3.7 Théorème.** Il existe  $2 \times 2772$  matroïdes orientées simpliciales qui sont des variétés matroïdes du tore de Möbius. Selon la  $H_{\text{c}_v}$ -équivalence, il existe exactement 72 types différents. On trouvera en annexe un représentant de chaque type.

Le nombre maximal de points extrêmes est 6. Ceci fournit une réponse affirmative à la conjecture de Reay, en particulier le problème 18.A3 dans [18].

**3.8 Remarque.** Toutes les matroïdes orientées à 7 sommets sont réalisables, voir [8].

#### 4. SYMÉTRIES DES MATROÏDES ORIENTÉES

On dira d'un élément  $\sigma: \{1, \dots, 7\} \rightarrow \{1, \dots, 7\}$  du groupe d'automorphisme  $H_{\text{c}_v}$  qu'il s'agit d'une *symétrie de la variété matroïde*  $\chi$  si et seulement si

$$\sigma\chi = +\chi \text{ ou } \sigma\chi = -\chi.$$

Puisqu'une réalisation géométrique symétrique induit une symétrie de la matroïde orientée correspondante, on a cherché des symétries dans la classe de nos 72 variétés matroïdes du tore de Möbius.

**4.1 Théorème.** Selon la  $H_{\text{c}_v}$ -équivalence, il existe exactement 12 variétés matroïdes simpliciales symétriques du tore de Möbius. L'ordre de symétrie est égal à 2 dans chaque cas. Une réalisation symétrique doit posséder une rotation de  $180^\circ$  comme automorphisme. Les types d'enveloppes convexes sont 6 fois un tétraèdre, 4 fois une double pyramide au-dessus d'un triangle, et deux fois un polytope placé sur une telle double pyramide. Les représentants typiques sont illustrés aux figures 4 à 7.

**4.2 Remarque.** Dans chaque cas, on a  $\sigma\chi = +\chi$ , la symétrie com-

Using a computer, we determined all matroid manifolds of Möbius' torus which are *simplicial* oriented matroids.

**3.7 Theorem.** There are  $2 \times 2772$  simplicial oriented matroids which are matroid manifolds of Möbius' torus. Up to  $H_{C_6}$ -equivalence there are exactly 72 different types. A representant of each type is given in the Appendix.

The maximum number of extreme point is 6. This gives an affirmative answer to a conjecture of Reay, namely Problem 18.A3 in [18].

**3.8 Remark.** All oriented matroids with 7 vertices are realizable, see [8].

#### 4. SYMMETRIES OF ORIENTED MATROIDS

We call an element  $\sigma: \{1, \dots, 7\} \rightarrow \{1, \dots, 7\}$  of the automorphism group  $H_{C_6}$  a *symmetry of the matroid manifold*  $\chi$  if and only if

$$\sigma\chi = +\chi \text{ ou } \sigma\chi = -\chi.$$

Since a symmetric geometric realization induces a symmetry of the corresponding oriented matroid, we looked for symmetries in the class of our 72 matroid manifolds of Möbius' torus.

**4.1 Theorem.** Up to  $H_{C_6}$ -equivalence, there are exactly 12 symmetric simplicial matroid manifolds of Möbius' torus. The order of symmetry in each case is 2. A symmetrical realization has to have a rotation of  $180^\circ$  as an automorphism. Convex hull types are 6 times a tetrahedron, 4 times a double pyramid over a triangle, and twice a stack polytope over such a double pyramid. Typical representatives are depicted in **Figures 4 to 7**.

**4.2 Remark.** In all cases we have  $\sigma\chi = +\chi$ , the combinatorial symmetry preserves orientation. Therefore a symmetric realization has to have a symmetry with determinant +1.

**4.3 Theorem.** In all 12 cases of symmetric simplicial matroid

binatoire préserve l'orientation. Ainsi, une réalisation symétrique doit posséder une symétrie de déterminant +1.

**4.3 Théorème.** Pour chacun des 12 cas de variétés matroïdes simpliciales symétriques du tore de Möbius, la variété matroïde est symétriquement réalisable et, de plus, la propriété d'isotopie est vérifiée même dans la classe des réalisations symétriques.

**Démonstration.** On ne fournit la preuve que pour la matroïde orientée  $\chi_{b2}$  (voir annexe) qui est un représentant typique des 12 cas.  $\chi_{b2}$  possède la symétrie (6)(14)(23)(57). On peut facilement obtenir une suite de résolution respectant la symétrie pour cette matroïde orientée.

La seule symétrie d'ordre 2 et de déterminant +1 est une rotation de  $180^\circ$  d'axe donné ; on peut ainsi, sans perte de généralité, choisir des coordonnées homogènes respectant la symétrie ci-dessus comme dans la matrice suivante.

$$\begin{array}{c|cccc} & 1 & 0 & 1 & 0 \\ 1 & 1 & a & 0 & -1 \\ 2 & 1 & a & 0 & 1 \\ 3 & 1 & 0 & -1 & 0 \\ 4 & 1 & b & c & d \\ 5 & 1 & 1 & 0 & 0 \\ 6 & 1 & b & -c & -d \end{array}$$

La symétrie fait en sorte que seuls les déterminants suivants sont essentiels, et  $a, b, c, d$  représentent une réalisation de la matroïde orientée si et seulement si toutes ces variables constituent une solution du système d'inéquations suivant:

$$\begin{aligned} [1234] &= +4a && > 0 \\ [1235] &= +2a - 2b & -2ac & > 0 \\ [1236] &= +2a && -2 > 0 \\ [1237] &= +2a - 2b & +2ac & > 0 \\ [1245] &= -2b & -2ad & < 0 \\ [1246] &= && -2 < 0 \\ [1247] &= -2b & +2ad & < 0 \\ [1256] &= +b + c - d & +ad & -1 > 0 \\ [1257] &= & +2ad + 2bc - 2bd & > 0 \\ [1267] &= -b + c - d & +ad & +1 < 0 \\ [1356] &= -b - c - d & +ad & +1 < 0 \\ [1357] &= & +2ad - 2bc - 2bd & > 0 \end{aligned}$$

manifolds of Möbius' torus, the matroid manifold is symmetrically realizable and, moreover, the isotopy property holds even in the class of symmetric realizations.

**Proof.** We give the proof only for the oriented matroid  $\chi_{b2}$  (cf. Appendix) which is typical for all the 12 cases.  $\chi_{b2}$  has the symmetry (6)(14)(23)(57). One can get easily a solvability sequence for this oriented matroid, that respects the symmetry.

The only symmetry of order 2 with determinant +1 is a rotation of  $180^\circ$  with fixed axis, so without loss of generality we can choose homogeneous coordinates respecting the above symmetry as given in the following matrix.

$$\begin{array}{c|cccc} 1 & 1 & 0 & 1 & 0 \\ 2 & 1 & a & 0 & -1 \\ 3 & 1 & a & 0 & 1 \\ 4 & 1 & 0 & -1 & 0 \\ 5 & 1 & b & c & d \\ 6 & 1 & 1 & 0 & 0 \\ 7 & 1 & b & -c & -d \end{array}$$

Because of the symmetry, only the following determinants are essential, and  $a, b, c, d$  represent a realization of the oriented matroid if and only if all variables solve the following system of inequalities:

$$\begin{aligned} [1234] &= +4a &> 0 \\ [1235] &= +2a - 2b &-2ac &> 0 \\ [1236] &= +2a && -2 > 0 \\ [1237] &= +2a - 2b &+2ac &> 0 \\ [1245] &= -2b &-2ad &< 0 \\ [1246] &= && -2 < 0 \\ [1247] &= -2b &+2ad &< 0 \\ [1256] &= +b + c - d &+ad &-1 > 0 \\ [1257] &= &+2ad + 2bc - 2bd &> 0 \\ [1267] &= -b + c - d &+ad &+1 < 0 \\ [1356] &= -b - c - d &+ad &+1 < 0 \\ [1357] &= &+2ad - 2bc - 2bd &> 0 \\ [1367] &= +b - c - d &+ad &< 0 \\ [1456] &= &-2d &< 0 \\ [1457] &= && -4bd &< 0 \\ [1567] &= &-2d &+2bd &> 0 \\ [2356] &= -2c &+2ac &< 0 \\ [2357] &= &+4ac &-4bc &< 0 \\ [2567] &= -2c &+2bc &< 0. \end{aligned}$$

$$\begin{aligned} [1367] &= +b - c - d &+ad &< 0 \\ [1456] &= &-2d &< 0 \\ [1457] &= && -4bd &< 0 \\ [1567] &= &-2d &+2bd &> 0 \\ [2356] &= -2c &+2ac &< 0 \\ [2357] &= &+4ac &-4bc &< 0 \\ [2567] &= -2c &+2bc &< 0. \end{aligned}$$

Par des arguments utilisant la condition du signe de la matroïde orientée issue des relations de Grassmann-Plücker, ainsi que la symétrie, on peut réduire le système à

$$\begin{aligned} d > 0, \quad b > 1, \quad -c > 0, \quad a - b + ac > 0, \\ b - ad > 0, \quad ad + bc - bd > 0, \quad b + c + d - ad - 1 > 0, \end{aligned}$$

qui contient toute l'information du système initial, c'est-à-dire que  $\chi$  est réalisable si et seulement si les 7 inéquations sont résolubles en  $a, b, c$  et  $d$ , et de plus, toutes les réalisations peuvent être construites à partir du dernier système. On omettra la preuve de cette équivalence qui a été réalisée à l'aide de l'ordinateur.

La réduction finale à la main est directe et on l'omettra également.

La propriété d'isotopie du théorème est ensuite démontrée de façon semblable au cas non symétrique. Le théorème 4.3 est ainsi démontré pour cet exemple typique.

## 5. LE GRAPHE DES VARIÉTÉS MATROÏDES SIMPLICIALES DU TORE DE MÖBIUS

Le graphe  $\mathcal{G}(\mathcal{M}_s)$  est défini comme suit: ses sommets sont les éléments de  $\mathcal{M}_s$  et il y a une arête entre deux variétés matroïdes simpliciales du tore de Möbius  $\chi$  et  $\chi'$  si et seulement s'il existe exactement un  $\lambda \in \Lambda(7,4)$  tel que  $\chi(\lambda) \neq \chi'(\lambda)$ .

Le théorème suivant nous fournit une propriété globale du graphe des matroïdes orientées de Möbius. Rappelons que  $H_{c_s}$  est engendré par les permutations  $\rho$  et  $\tau$  définies à la section 2.

**5.1 Théorème.**  $\mathcal{G}(\mathcal{M}_s)$  possède 12 composantes connexes. Soient  $A$  et  $B$  les composantes connexes contenant les matroïdes orientées

Arguments using the oriented matroid sign condition from Grassmann-Plücker relations together with symmetry reduce the system to

$$\begin{aligned} d > 0, \quad b > 1, \quad -c > 0, \quad a - b + ac > 0, \\ b - ad > 0, \quad ad + bc - bd > 0, \quad b + c + d - ad - 1 > 0, \end{aligned}$$

which still contains the full information, that is,  $\chi$  is realizable if and only if the 7 inequalities are solvable in  $a, b, c, d$ , and in addition, all realizations can be constructed from the remaining system as well. We omit the computer aided proof for this equivalence.

The final reduction by hand is straightforward and will be omitted here.

The isotopy property of the theorem is now achieved in a similar manner as in the non-symmetrical case. Thus Theorem 4.3 is proved for this typical example.

## 5. THE GRAPH OF SIMPLICIAL MATROID MANIFOLDS OF MÖBIUS' TORUS

We define a graph  $\mathcal{G}(\mathcal{M}_s)$  as follows: the vertices are the elements of  $\mathcal{M}_s$ , and two simplicial matroid manifolds of Möbius' torus  $\chi$  and  $\chi'$  are joined by an edge if and only if there is exactly one  $\lambda \in \Lambda(7,4)$  with  $\chi(\lambda) \neq \chi'(\lambda)$ .

The following theorem provides a global property of the graph of Möbius oriented matroids. Recall that  $H_{C_s}$  is generated by the permutations  $\rho$  and  $\tau$ , as defined in Section 2.

**5.1 Theorem.**  $\mathcal{G}(\mathcal{M}_s)$  has 12 components of connectivity. Let  $A$  and  $B$  denote the components of connectivity that contain the oriented matroids  $\chi_{a1}, \dots, \chi_{a24}$  and  $\chi_{b1}, \dots, \chi_{b48}$ , respectively (cf. Appendix). Then the 12 connected components are given by  $\pm\rho^i A$  and  $\pm\rho^i B$ , where  $i = 0, 1, 2$ . All these components  $\pm\rho^i A$  and  $\pm\rho^i B$  contain only oriented matroids  $H_{C_s}$ -equivalent to one of the oriented matroids  $\chi_{a1}, \dots, \chi_{a24}$  or  $\chi_{b1}, \dots, \chi_{b48}$ , respectively.

**5.2 Remark.** Let  $\mathcal{G}' := \mathcal{G}(\mathcal{M}_s)/H_{C_s}$  denote the graph we obtain from

$\chi_{a1}, \dots, \chi_{a24}$  et  $\chi_{b1}, \dots, \chi_{b48}$ , respectivement (voir annexe). Alors, les 12 composantes connexes sont données par  $\pm\rho^i A$  et  $\pm\rho^i B$ , où  $i = 0, 1, 2$ . Toutes ces composantes  $\pm\rho^i A$  et  $\pm\rho^i B$  ne contiennent que des matroïdes orientées  $H_{C_s}$ -équivalentes à l'une des matroïdes orientées  $\chi_{a1}, \dots, \chi_{a24}$  ou  $\chi_{b1}, \dots, \chi_{b48}$ , respectivement.

**5.2 Remarque.** Soit  $\mathcal{G}' := \mathcal{G}(\mathcal{M}_s)/H_{C_s}$  le graphe obtenu de  $\mathcal{G}(\mathcal{M}_s)$  en identifiant deux sommets de  $\mathcal{G}(\mathcal{M}_s)$  s'ils sont  $H_{C_s}$ -équivalents.  $\mathcal{G}'$  possède alors 2 composantes connexes,  $A/H_{C_s}$  et  $B/H_{C_s}$ .

Le graphe  $A$  contient le sous-graphe  $A_0$  illustré à la **figure 3**. Un 4-tuple à la frontière désigne l'orientation  $\lambda$  qui change dans la ligne ou la colonne correspondante. Soient  $\alpha = (14)(23)(57)$  la symétrie des matroïdes orientées  $\chi_{a1}, \dots, \chi_{a5}$  et  $\beta = (13)(47)(56)$  la symétrie de  $\chi_{a24}$ . (On a  $\alpha^{-1} = \alpha$  et  $\beta^{-1} = \beta$ .)  $\alpha$  est une symétrie, ainsi les graphes  $A_0$  et  $\alpha A_0$  ont les matroïdes orientées  $\chi_{a1}, \dots, \chi_{a5}$  en commun, et  $A_0$  et  $\alpha A_0$  peuvent être ici collés l'un sur l'autre. De la même façon, on peut coller ensemble  $A_0$  et  $\beta A_0$ , qui ont le sommet  $\chi_{a24}$  en commun. Ici, on obtient les 4 arêtes additionnelles  $\chi_{a8} — \beta\chi_{a23}$ ,  $\chi_{a11} — \beta\chi_{a18}$ ,  $\chi_{a18} — \beta\chi_{a11}$  et  $\chi_{a23} — \beta\chi_{a8}$ .

En général, pour une permutation  $\gamma$ , le sous-graphe  $\gamma A_0$  peut être collé à  $(\gamma\alpha\gamma^{-1})\gamma A_0 = \gamma\alpha A_0$  en utilisant les matroïdes orientées  $\gamma\chi_{a1}, \dots, \gamma\chi_{a5}$ , et à  $\gamma\beta A_0$  en utilisant  $\gamma\chi_{a24}$  (dans ce dernier cas, on obtiendra encore 4 arêtes additionnelles). Finalement, on obtient un graphe composé de 14 copies renumérotées de  $A_0$ :

$$A_0 — \beta A_0 — \beta\alpha A_0 — \beta\alpha\beta A_0 — \dots — (\beta\alpha)^6 \beta A_0.$$

Nous avons maintenant  $(\alpha\beta)^6 =$  identité, donc  $(\alpha\beta)^6 \beta = \alpha$  est vérifié, ainsi le dernier sous-graphe de cette suite doit être collé au premier. De cette construction, on obtient la composante connexe  $A$  de  $\mathcal{G}(\mathcal{M}_s)$ .

Nous n'aborderons pas la structure plus complexe de  $B$ . (**Figure 3**)

## 6. RÉALISATIONS NON SIMPLICIALES

Cette section est consacrée aux réalisations non simpliciales. On verra qu'il est suffisant de connaître  $\mathcal{M}_s$  pour trouver toutes les

$\mathcal{G}(\mathcal{M}_s)$  by identifying two vertices of  $\mathcal{G}(\mathcal{M}_s)$  if they are  $H_{C_s}$ -equivalent. Then  $\mathcal{G}'$  has 2 connected components, namely  $A/H_{C_s}$  and  $B/H_{C_s}$ .

The graph  $A$  contains the subgraph  $A_0$  shown in **Figure 3**. A 4-tuple at the boundary denotes the orientation  $\lambda$  that changes in the corresponding row or column. Let  $\alpha = (14)(23)(57)$  denote the symmetry of the oriented matroids  $\chi_{a1}, \dots, \chi_{a5}$  and  $\beta = (13)(47)(56)$  denote the symmetry of  $\chi_{a24}$ . (We have  $\alpha^{-1} = \alpha$  and  $\beta^{-1} = \beta$ .)  $\alpha$  is a symmetry, so the graphs  $A_0$  and  $\alpha A_0$  have the oriented matroids  $\chi_{a1}, \dots, \chi_{a5}$  in common, and  $A_0$  and  $\alpha A_0$  can be glued together here. In the same way, one can glue together  $A_0$  and  $\beta A_0$ , which have the vertex  $\chi_{a24}$  in common. Here, one gets the 4 additional edges  $\chi_{a8} — \beta\chi_{a23}, \chi_{a11} — \beta\chi_{a18}, \chi_{a18} — \beta\chi_{a11}$  et  $\chi_{a23} — \beta\chi_{a8}$ .

In general, for a permutation  $\gamma$ , the subgraph  $\gamma A_0$  can be glued together with  $(\gamma\alpha\gamma^{-1})\gamma A_0 = \gamma\alpha A_0$  using the oriented matroids  $\gamma\chi_{a1}, \dots, \gamma\chi_{a5}$ , and with  $\gamma\beta A_0$  using  $\gamma\chi_{a24}$  (in the latter case, one gets 4 additional edges again). Finally, one obtains a graph of 14 renumbered copies of  $A_0$ :

$$A_0 — \beta A_0 — \beta\alpha A_0 — \beta\alpha\beta A_0 — \dots — (\beta\alpha)^6 \beta A_0.$$

Now we have  $(\alpha\beta)^6 = \text{id}$ , hence  $(\alpha\beta)^6\beta = \alpha$  holds, so the last subgraph in this sequence has to be glued together with the first. With this construction, one obtains the component of connectivity  $A$  of  $\mathcal{G}(\mathcal{M}_s)$ .

We do not discuss the more complicated structure of  $B$ . (**Figure 3**)

## 6. NON-SIMPLICIAL REALIZATIONS

This section is devoted to non-simplicial realizations. It will be seen that it is sufficient to know  $\mathcal{M}_s$  in order to find all matroid manifolds of Möbius' torus (i.e. the set  $\mathcal{M}$ ).

**6.1 Theorem.** For all Möbius oriented matroids  $\chi_0 \in \mathcal{M}$  and all  $\bar{\lambda} \in \Lambda(7,4)$  with  $\chi_0(\bar{\lambda}) = 0$ , there exist  $\chi_+, \chi_- \in \mathcal{M}$  such that

$$\chi_+(\bar{\lambda}) = +1, \quad \chi_-(\bar{\lambda}) = -1$$

variétés matroïdes du tore de Möbius (c'est-à-dire l'ensemble  $\mathcal{M}$ ).

**6.1 Théorème.** Pour toutes matroïdes orientées de Möbius  $\chi_0 \in \mathcal{M}$  et tout  $\bar{\lambda} \in \Lambda(7,4)$  tels que  $\chi_0(\bar{\lambda}) = 0$ , il existe  $\chi_+, \chi_- \in \mathcal{M}$  tels que

$$\chi_+(\bar{\lambda}) = +1, \quad \chi_-(\bar{\lambda}) = -1$$

et

$$\chi_+(\lambda) = \chi_0(\lambda) = \chi_-(\lambda) \text{ pour tout } \lambda \in \Lambda(7,4) \setminus \{\bar{\lambda}\}.$$

De plus, il existe des réalisations  $R_+$ ,  $R_0$  et  $R_-$  de  $\chi_+$ ,  $\chi_0$  et de  $\chi_-$ , respectivement, et une isotopie qui transforme  $R_+$  en  $R_0$  et en  $R_-$ .

**Démonstration.** Soit  $\chi_0 \in \mathcal{M}$ . Sans perte de généralité, on peut supposer que  $\chi_0(\bar{\lambda}) = 0$  pour  $\bar{\lambda} = (1,2,3,4)$ . Si  $\bar{\lambda} \neq (1,2,3,4)$ , on renomme les sommets de  $\chi_0$  selon un certain  $\sigma \in S_n$ . La matroïde orientée  $\chi_0$  est réalisable. Soit  $R_0 = (x_1, \dots, x_7)$  une réalisation de  $\chi_0$ . On désigne par  $x(R)$  la matroïde orientée correspondant à  $R$ .

On procède en montrant qu'il existe un point  $x_i \in \{x_1, \dots, x_4\}$ , une direction  $u$  et une valeur (suffisamment petite)  $t \geq 0$  tels que pour les matroïdes orientées  $\chi_{\pm} = x(R_{\pm})$  de  $R_{\pm} := (x_1, \dots, x_i \pm tu, \dots, x_7)$ , on a

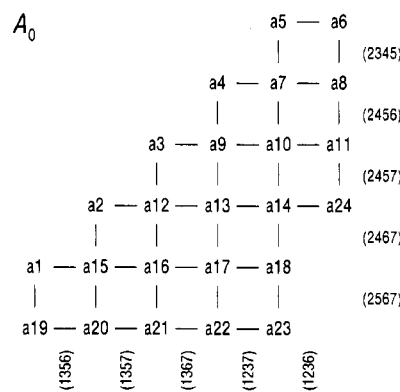
$$\begin{aligned} \chi_+(\bar{\lambda}) &= +1, & \chi_-(\bar{\lambda}) &= -1, \\ \chi_+(\lambda) &= \chi_0(\lambda) = \chi_-(\lambda) \text{ pour tout } \lambda \in \Lambda(7,4) \setminus \{\bar{\lambda}\} & \text{et} \\ \chi_{\pm} &\in \mathcal{M}. \end{aligned}$$

(L'isotopie est alors donnée par  $\tau \mapsto (x_1, \dots, x_i + \tau u, \dots, x_7) : [-t, t] \rightarrow (\mathbb{R}^3)^7$ .)

Si  $t$  est suffisamment petit, aucune nouvelle intersection entre les arêtes et les triangles du complexe combinatoire  $C_M$  n'apparaîtra.

On parle dans ce cas d'un *mouvement admissible* du point  $x_i$ . Pour  $i \in \{1, 2, 3, 4\}$ , on considère les plans  $H$  déterminés par les enveloppes affines des sous-ensembles de  $\{x_1, \dots, x_7\}$  qui sont des contraintes pour notre point  $x_i$ , c'est-à-dire que le déterminant correspondant à un  $\lambda \in \Lambda(7,4)$  contenant  $i$  s'annule,  $\chi_0(\lambda) = 0$ . On appelle un tel plan  $H$  une *contrainte linéaire* pour  $x_i$ . Par exemple,  $H := \text{aff}(x_1, \dots, x_4)$  est une contrainte linéaire pour  $x_1, x_2, x_3$  et  $x_4$ .

FIGURE 3



and  $\chi_+(\lambda) = \chi_0(\lambda) = \chi_-(\lambda)$  for all  $\lambda \in \Lambda(7,4) \setminus \{\bar{\lambda}\}$ .

Moreover, there are realizations  $R_+$ ,  $R_0$  and  $R_-$  of  $\chi_+$ ,  $\chi_0$  and  $\chi_-$ , respectively, and an isotopy which transforms  $R_+$  into  $R_0$  and into  $R_-$ .

**Proof.** Let  $\chi_0 \in \mathcal{M}$  be given. Without loss of generality, we may assume  $\chi_0(\bar{\lambda}) = 0$  for  $\bar{\lambda} = (1,2,3,4)$ . If  $\bar{\lambda} \neq (1,2,3,4)$ , we renumber the vertices of  $\chi_0$  according to some  $\sigma \in S_7$ . The oriented matroid  $\chi_0$  is realizable. Let  $R_0 = (x_1, \dots, x_7)$  be a realization of  $\chi_0$ . By  $\chi(R)$ , we denote the oriented matroid corresponding to  $R$ .

We proceed in showing that there is a point  $x_i \in \{x_1, \dots, x_4\}$ , a direction  $u$  and a (sufficiently small)  $t \geq 0$  such that for the oriented matroids  $\chi_{\pm} = \chi(R_{\pm})$  of  $R_{\pm} := (x_1, \dots, x_i \pm tu, \dots, x_7)$ , we have

$$\begin{aligned} \chi_-(\bar{\lambda}) &= +1, \quad \chi_-(\bar{\lambda}) = -1, \\ \chi_+(\lambda) &= \chi_0(\lambda) = \chi_-(\lambda) \text{ for all } \lambda \in \Lambda(7,4) \setminus \{\bar{\lambda}\} \quad \text{and} \\ \chi_{\pm} &\in \mathcal{M}. \end{aligned}$$

(The isotopy is then given by  $\tau \mapsto (x_1, \dots, x_i + \tau u, \dots, x_7) : [-t, t] \rightarrow (\mathbb{R}^3)^7$ .)

If  $t$  is sufficiently small, no new intersections between edges and triangles of the combinatorial complex  $C_M$  will occur.

In this case, we speak of an *admissible motion* of the point  $x_i$ . For  $i \in \{1, 2, 3, 4\}$  we consider those planes  $H$  determined by affine hulls of subsets of  $\{x_1, \dots, x_7\}$  which are constraints for our point  $x_i$ , i.e. the determinant corresponding to a  $\lambda \in \Lambda(7,4)$  containing  $i$  vanishes,  $\chi_0(\lambda) = 0$ . We call such a plane  $H$  a *linear constraint* for  $x_i$ . For example,  $H := \text{aff}(x_1, \dots, x_4)$  is a linear constraint for  $x_1, x_2, x_3$  and  $x_4$ .

The following lemma holds for more general situations.

**Lemma.** No plane affinely spanned by points of  $R_0 = (x_1, \dots, x_7)$  with  $\chi(R_0) \in \mathcal{M}$  contains more than 4 points of  $R_0$ , and no line affinely spanned by points of  $R_0$  contains more than 2 points of  $R_0$ .

Le lemme suivant est valide dans des situations plus générales.

**Lemme.** Aucun plan engendré de façon affine par des points de  $R_0 = (x_1, \dots, x_7)$  où  $\chi(R_0) \in \mathcal{M}$  ne contient plus de 4 points de  $R_0$ , et aucune droite engendrée de façon affine par des points de  $R_0$  ne contient plus de 2 points de  $R_0$ .

Ceci est une conséquence de la complétude du graphe-arête du tore de Möbius et du fait que le graphe complet  $K_5$  n'est pas planaire.

On tente maintenant de choisir un point  $x_i$  pour un mouvement admissible et on a à considérer les cas suivants:  $(k) = (1, \dots, 4)$ , pour lesquels dans le cas  $(k)$  le point  $x_i$  est contenu dans exactement  $k$  contraintes linéaires.

Les cas (1) et (2) sont triviaux par rapport à (3).

Dans le cas (3), on voit que, ou bien les 3 contraintes linéaires se rencontrent en exactement un point (c'est-à-dire, en  $x_i$ ) et le mouvement admissible se situe le long de la droite d'intersection des contraintes linéaires différentes de  $\text{aff}\{x_1, x_2, x_3, x_4\}$ , ou bien les trois contraintes linéaires se rencontrent en une droite. Mais ce dernier cas est impossible à cause du lemme et parce que nous n'avons que 7 points en tout.

Dans le cas (4), on sait par le cas précédent que chaque triplet de contraintes linéaires possède exactement un point d'intersection. On montre dans ce qui suit que ceci ne peut survenir simultanément pour tous les points  $x_1, x_2, x_3$  et  $x_4$ . Si cela arrive, on utilise

- (i)  $\text{aff}\{x_1, \dots, x_4\}$  est une contrainte linéaire,
- (ii) deux contraintes linéaires différentes ne possèdent pas plus de 2 points de  $R_0$  en commun,
- (iii) chaque point  $x_i$ ,  $i \in \{1, 2, 3, 4\}$  doit appartenir à au moins 4 contraintes linéaires.

Ceci implique nécessairement la liste suivante de contraintes linéaires de  $\chi_0$  (ici,  $i$  désigne  $x_i$ ):

This follows from the completeness of the edge graph of Möbius' torus and from the fact that the complete graph  $K_5$  is not planar.

Now we try to choose point  $x_i$  for an admissible motion first and have to consider the following cases  $(k) = (1), \dots, (4)$ , where in case  $(k)$  point  $x_i$  is contained in exactly  $k$  linear constraints.

Cases (1) and (2) are trivial compared with (3).

In case (3), we find either that all 3 linear constraints meet in exactly one point (i.e. in  $x_i$ ) and the admissible motion is along the intersection line of those linear constraints different from  $\text{aff}\{x_1, x_2, x_3, x_4\}$ , or that all 3 linear constraints meet in a line. But the last case is impossible because of the Lemma and because we have only 7 points together.

In case (4) we know from the last case that every 3 linear constraints meet in exactly one point. We show in the following that this can not happen for all points  $x_1, x_2, x_3$  and  $x_4$ , simultaneously. If it does, we use

- (i)  $\text{aff}\{x_1, \dots, x_4\}$  is a linear constraint,
- (ii) two different linear constraints have not more than 2 points of  $R_0$  in common,
- (iii) each point  $x_i$ ,  $i \in \{1, 2, 3, 4\}$  must be contained in at least 4 linear constraints.

This implies necessarily the following list of linear constraints of  $\chi_0$  (here  $/$  denotes  $x_i$ ):

$$\begin{aligned} & \text{aff}\{1 2 3 4\} \\ & \text{aff}\{1 2 5 6\} \\ & \text{aff}\{1 3 5 7\} \\ & \text{aff}\{1 4 6 7\} \\ & \text{aff}\{2 3 6 7\} \\ & \text{aff}\{2 4 5 7\} \\ & \text{aff}\{3 4 5 6\} \end{aligned}$$

$$\begin{aligned} & \text{aff}\{1 2 3 4\} \\ & \text{aff}\{1 2 5 6\} \\ & \text{aff}\{1 3 5 7\} \\ & \text{aff}\{1 4 6 7\} \\ & \text{aff}\{2 3 6 7\} \\ & \text{aff}\{2 4 5 7\} \\ & \text{aff}\{3 4 5 6\} \end{aligned}$$

D'après le lemme, il n'existe pas d'autre  $\lambda$  tel que  $\chi_0(\lambda) = 0$ . Ainsi,  $|\chi_0|$  est uniquement déterminé, et définit la matroïde sous-jacente correspondante comme le dual de la matroïde de Fano qu'on sait non réalisable. Cette contradiction termine la preuve du théorème 5.

Le théorème suivant traite d'un énoncé inverse.

**6.3 Théorème.** Étant données deux matroïdes orientées de Möbius  $\chi_+$  et  $\chi_-$  dans  $\mathcal{M}$  et  $\bar{\lambda} \in \Lambda(7,4)$  tels que

$$\chi_+(\bar{\lambda}) = +1, \quad \chi_-(\bar{\lambda}) = -1$$

et  $\chi_+(\lambda) = \chi_0(\lambda) = \chi_-(\lambda)$  pour tout  $\lambda \in \Lambda(7,4) \setminus \{\bar{\lambda}\}$ .

Alors la transformation  $\chi_0: \Lambda(7,4) \rightarrow \{-1, 0, +1\}$  où  $\chi_0(\bar{\lambda}) = 0$  et

$$\chi_0(\lambda) = \chi_+(\lambda) \text{ pour tout } \lambda \in \Lambda(7,4)$$

est encore une matroïde orientée et, de plus,  $\chi_0 \in \mathcal{M}$ .

**6.4 Remarque.** Cette affirmation demeure vraie même lorsque  $\mathcal{M}$  est l'ensemble de toutes les variétés matroïdes correspondant à un complexe combinatoire bidimensionnel.

**Démonstration.** (du théorème 6.3) On doit démontrer (a) que  $\chi_0$  est une matroïde orientée affine, et (b) que  $\chi_0$  ne contient aucun circuit inadmissible de la variété de Möbius.

(a) Pour  $\chi_0: \Lambda(7,4) \rightarrow \{-1, 0, +1\}$  (avec son unique extension alternée), on montre que pour tout  $\lambda \in \Lambda(7,5)$ : l'ensemble

$$S_{\chi_0, \lambda} := \{(-1)^i \cdot \chi_0(\lambda_1, \dots, \widehat{\lambda}_i, \dots, \lambda_5) \mid i \in \{1, \dots, 5\}\},$$

ou bien contient  $\{-1, +1\}$ , ou bien est égal à  $\{0\}$ . Il suffit de considérer

There are no more  $\lambda$  with  $\chi_0(\lambda) = 0$  because of the Lemma. Thus  $|\chi_0|$  is defined uniquely and defines the corresponding underlying matroid to be the dual of the Fano matroid which is known to be non-realizable. This contradiction finishes the proof of Theorem 5.

The next theorem deals with a converse statement.

**6.3 Theorem.** Given two Möbius oriented matroids  $\chi_+$  and  $\chi_-$  in  $\mathcal{M}$  and  $\bar{\lambda} \in \Lambda(7,4)$  with

$$\chi_+(\bar{\lambda}) = +1, \quad \chi_-(\bar{\lambda}) = -1$$

and  $\chi_+(\lambda) = \chi_0(\lambda) = \chi_-(\lambda)$  for all  $\lambda \in \Lambda(7,4) \setminus \{\bar{\lambda}\}$ .

Then the mapping  $\chi_0: \Lambda(7,4) \rightarrow \{-1,0,+1\}$  defined by  $\chi_0(\bar{\lambda}) = 0$

and  $\chi_0(\lambda) = \chi_+(\lambda)$  for all  $\lambda \in \Lambda(7,4)$

is again an oriented matroid and, moreover,  $\chi_0 \in \mathcal{M}$ .

**6.4 Remark.** This assertion carries over whenever  $\mathcal{M}$  is the set of all matroid manifolds corresponding to a 2-dimensional combinatorial complex.

**Proof.** (of Theorem 6.3) We have to show (a) that  $\chi_0$  is an affine oriented matroid, and (b) that  $\chi_0$  does not contain an unallowed circuit of the Möbius manifold.

(a) For  $\chi_0: \Lambda(7,4) \rightarrow \{-1,0,+1\}$  (with its unique alternating extension) we show for all  $\lambda \in \Lambda(7,5)$ : the set

$$S_{\chi_0, \lambda} := \{(-1)^i \cdot \chi_0(\lambda_1, \dots, \widehat{\lambda}_i, \dots, \lambda_5) \mid i \in \{1, \dots, 5\}\},$$

either contains  $\{-1,+1\}$  or equals  $\{0\}$ . It suffices to consider those  $\lambda = (\lambda_1, \dots, \lambda_5) \in \Lambda(7,5)$  such that for the given  $\bar{\lambda} = (\bar{\lambda}_1, \dots, \bar{\lambda}_5) \in \Lambda(7,4)$  we have  $\{\bar{\lambda}_1, \dots, \bar{\lambda}_4\} \subseteq \{\lambda_1, \dots, \lambda_5\}$ .  $\chi_0(\bar{\lambda}) \neq 0$  shows that  $S_{\chi_0, \lambda} \neq \{0\}$ , hence

$$S_{\chi_+, \lambda} \supseteq \{-1,+1\} \quad \text{and} \quad S_{\chi_-, \lambda} \supseteq \{-1,+1\},$$

because  $\chi_+$  and  $\chi_-$  are affine.

Now write down the sets

seulement les  $\lambda = (\lambda_1, \dots, \lambda_5) \in \Lambda(7,5)$  qui sont tels que pour un  $\bar{\lambda} = (\bar{\lambda}_1, \dots, \bar{\lambda}_5) \in \Lambda(7,4)$  donné, on ait  $\{\bar{\lambda}_1, \dots, \bar{\lambda}_4\} \subseteq \{\lambda_1, \dots, \lambda_5\}$ .  $\chi_0(\bar{\lambda}) \neq 0$  montre que  $S_{\chi_0, \lambda} \neq \{0\}$ , donc

$$S_{\chi_+, \lambda} \supseteq \{-1,+1\} \quad \text{et} \quad S_{\chi_-, \lambda} \supseteq \{-1,+1\},$$

car  $\chi_+$  et  $\chi_-$  sont affines.

Inscrivons maintenant les ensembles

$$S_{\chi_+, \lambda} = \{+1, \dots, -1, \dots, \dots, \dots\},$$

$$S_{\chi_-, \lambda} = \{-1, \dots, \dots, \dots, +1, \dots\},$$

où  $\chi_0(\bar{\lambda})$  est le premier nombre. Les ensembles ne diffèrent qu'à cette entrée. Considérons

$$S_{\chi_0, \lambda} = \{0, \dots, -1, \dots, +1, \dots\},$$

pour voir que  $\{-1,+1\} \subseteq S_{\chi_0, \lambda}$ . Ceci démontre que  $\chi_0$  est affine.

La propriété de matroïde orientée est observée de façon similaire comme suit.  $\chi_0$  est une matroïde orientée, si pour tout  $\lambda \in \Lambda(7,5)$  et pour tout  $\mu \in \Lambda(7,3)$  l'ensemble

$$S_{\chi_0, \lambda, \mu} := \{(-1)^i \cdot \chi_0(\mu_1, \mu_2, \mu_3, \lambda_i) \cdot \chi_0(\lambda_1, \dots, \widehat{\lambda}_i, \dots, \lambda_5) \mid i \in \{1, \dots, 5\}\},$$

ou bien contient  $\{-1,+1\}$ , ou bien est égal à  $\{0\}$ . Soient  $\lambda \in \Lambda(7,5)$  et  $\mu \in \Lambda(7,3)$  choisis de façon arbitraire, mais fixés, et considérons l'ensemble de produits

$$\{(-1)^i \cdot \chi_0(\mu_1, \mu_2, \mu_3, \lambda_i) \cdot \chi_0(\lambda_1, \dots, \widehat{\lambda}_i, \dots, \lambda_5) \mid i \in \{1, \dots, 5\}\}$$

et les 4-tuples correspondants utilisés comme arguments.

Si  $\bar{\lambda}$  apparaît au plus une fois, on en viendra à la conclusion de la même façon que plus haut.

Si  $\bar{\lambda}$  apparaît au moins deux fois, on a

$$\bar{\lambda} = \{\mu_1, \mu_2, \mu_3, \lambda_i\} = \{\lambda_1, \dots, \widehat{\lambda}_i, \dots, \lambda_5\}$$

pour un choix approprié de  $i$  et  $j$  ( $i \neq j$ ). On peut supposer, sans perte de généralité, que  $\bar{\lambda} = (abcd)$ ,  $\lambda = (abcde)$  et  $\mu = (abc)$ . On peut alors écrire l'ensemble de la façon suivante

$$S_{\chi_+, \lambda} = \{+1, \dots, -1, \dots, \dots, \dots\},$$

$$S_{\chi_-, \lambda} = \{-1, \dots, \dots, \dots, +1, \dots\},$$

where  $\chi_\pm(\bar{\lambda})$  is the first number. The sets differ only at this entry. Consider

$$S_{\chi_0, \lambda} = \{0, \dots, -1, \dots, +1, \dots\},$$

to see  $\{-1, +1\} \subseteq S_{\chi_0, \lambda}$ . This shows that  $\chi_0$  is affine.

The oriented matroid property is seen in a similar way as follows.  $\chi_0$  is an oriented matroid, if for all  $\lambda \in \Lambda(7,5)$  and for all  $\mu \in \Lambda(7,3)$  the set

$$S_{\chi_0, \lambda, \mu} := \{(-1)^i \cdot \chi_0(\mu_1, \mu_2, \mu_3, \lambda_i) \cdot \chi_0(\lambda_1, \dots, \widehat{\lambda}_i, \dots, \lambda_5) \mid i \in \{1, \dots, 5\}\}$$

either contains  $\{-1, +1\}$  or equals  $\{0\}$ . Let  $\lambda \in \Lambda(7,5)$  and  $\mu \in \Lambda(7,3)$  be arbitrary, but fixed, and consider the set of products

$$\{(-1)^i \cdot \chi_0(\mu_1, \mu_2, \mu_3, \lambda_i) \cdot \chi_0(\lambda_1, \dots, \widehat{\lambda}_i, \dots, \lambda_5) \mid i \in \{1, \dots, 5\}\}$$

and the corresponding 4-tuples used as arguments.

If  $\bar{\lambda}$  occurs at most once, we come to the conclusion in the same way as above.

If  $\bar{\lambda}$  occurs at least twice, we have

$$\bar{\lambda} = \{\mu_1, \mu_2, \mu_3, \lambda_i\} = \{\lambda_1, \dots, \widehat{\lambda}_i, \dots, \lambda_5\}$$

for suitable  $i, j$  and  $i \neq j$ . Without loss of generality we assume  $\bar{\lambda} = (abcd)$ ,  $\lambda = (abcde)$  and  $\mu = (abc)$ . The set can now be written down as follows

$$S_{\chi_0, \lambda, \mu} := \{\chi_0(abca) \cdot \chi_0(bcde), -\chi_0(abcb) \cdot \chi_0(acde),$$

$$\chi_0(abcc) \cdot \chi_0(abde), -\chi_0(abcd) \cdot \chi_0(abce), \chi_0(abce) \cdot \chi_0(abcd)\}$$

and equals  $\{0\}$ .

(b) Assume  $\chi_0$  contains an unallowed circuit  $X$ . Without loss of generality, let  $X^+ \subseteq \{4, 5\}$  and  $X^- \subseteq \{1, 2, 3\}$ , compare Definition 3.4.  $\bar{\chi} := (\chi_0 \setminus \{6\}) \setminus \{7\}$  is again an affine chirotope. We can assume that  $\bar{\chi}$  is one of the following types:

$$S_{\chi_0, \lambda, \mu} := \{\chi_0(abca) \cdot \chi_0(bcde), -\chi_0(abcb) \cdot \chi_0(acde), \\ \chi_0(abcc) \cdot \chi_0(abde), -\chi_0(abcd) \cdot \chi_0(abce), \chi_0(abce) \cdot \chi_0(abcd)\}$$

et est égal à  $\{0\}$ .

(b) Supposons que  $\chi_0$  contient un circuit inadmissible  $X$ . Sans perte de généralité, soient  $X^+ \subseteq \{4, 5\}$  et  $X^- \subseteq \{1, 2, 3\}$ , à comparer à la définition 3.4.  $\bar{\chi} := (\chi_0 \setminus \{6\}) \setminus \{7\}$  est encore un chirotope affine. On peut supposer que  $\bar{\chi}$  est de l'un des types suivants :

1234	++++++	++++++	000000	0
1235	-----	000000	-----	0
1245	-0--00-	-0--00-	-0--00-	0
2345	--0-0-0	--0-0-0	--0-0-0	0
3145	---0-00	---0-00	---0-00	0

Mais dans chacun de ces cas, l'un ou l'autre de  $\chi_+$  ou de  $\chi_-$  contient un circuit inadmissible ou n'est pas affine. On a ainsi démontré le théorème 6.3.

Les deux précédents théorèmes mènent au corollaire suivant.

**6.5 Corollaire.** Soient  $R_1$  et  $R_2$  deux réalisations de variétés matroïdes simpliciales du tore de Möbius appartenant à la même composante connexe du graphe  $G(\mathcal{M}_s)$ . Il existe alors un mouvement continu amenant  $R_1$  à  $R_2$  sans avoir à quitter la classe des réalisations des matroïdes orientées de Möbius.

Nous sommes maintenant en mesure de donner une réponse complète au problème 18.A5 de [18]. Deux réalisations géométriques  $R_0$  et  $R_1$  du tore de Möbius sont dites *équivalentes* s'il existe un mouvement continu des sept sommets de  $R_0$  vers les sommets de  $R_1$ . En se basant sur le corollaire 6.5 et le théorème 5.1, on peut aisément vérifier le fait suivant.

**6.6 Théorème.** La relation d'équivalence définie ci-dessus induit une partition de l'ensemble de toutes les réalisations du tore de Möbius en exactement 2 classes.

Les 24 premières matroïdes orientées de l'annexe appartiennent à

1234	++++++	++++++	0 0 0 0 0 0	0
1235	-----	0 0 0 0 0 0	-----	0
1245	- 0 - 0 0 -	- 0 - 0 0 -	- 0 - 0 0 -	0
2345	-- 0 - 0 - 0	-- 0 - 0 - 0	-- 0 - 0 - 0	0
3145	--- 0 - 0 0	--- 0 - 0 0	--- 0 - 0 0	0

But in all these cases either  $\chi_+$  or  $\chi_-$  contains an unallowed circuit or is not affine. Thus we have proved Theorem 6.3.

The last two Theorems lead to the following corollary.

**6.5 Corollary.** For two realizations  $R_1$  and  $R_2$  of simplicial matroid manifolds of Möbius' torus belonging to the same connected component of the graph  $G(\mathcal{M}_s)$ , there is a continuous motion taking  $R_1$  to  $R_2$  such that the class of realizations of Möbius oriented matroids has not to be left.

Now, we are able to give a complete answer to Problem 18.A5 in [18]. Two geometric realizations  $R_0$  and  $R_1$  of Möbius' torus are said to be *equivalent*, if there is a continuous motion of the seven vertices of  $R_0$  into the vertices of  $R_1$ . Putting Corollary 6.5 and Theorem 5.1 together, the following fact is now easily seen to be true.

**6.6 Theorem.** The equivalence relation defined above partitions the set of all realizations of Möbius' torus into exactly 2 classes.

The first 24 oriented matroids in the Appendix belong to realizations to one of these classes, let us call it the *a*-class. The other 48 oriented matroids belong to the other class, which we will call the *b*-class.

Thus, the conjecture in [18] that follows Problem 18.A5 is true, but the second conjecture mentioned thereafter, namely that two realizations with different number of exposed vertices are not equivalent, is wrong. For example, Császár's torus is a realization of  $\chi_{a24}$  and has 5 exposed vertices, and this realization is equivalent to any realization of  $\chi_{a1}$  which has only 4 exposed vertices.

A closer inspection reveals the following phenomena: firstly, in any realization of the *a*-class, e.g. the path  $1 \rightarrow 4 \rightarrow 7$  runs *around* the

des réalisations de l'une de ces classes; appelons-la la classe *a*. Les 48 autres matroïdes orientées appartiennent à l'autre classe, qu'on appellera la classe *b*.

Ainsi, la conjecture qui suit le problème 18.A5 dans [18] est vraie, mais la seconde conjecture présentée plus loin, affirmant que deux réalisations ayant un nombre différent de sommets exposés ne sont pas équivalentes, est fausse. Par exemple, le tore de Császár est une réalisation de  $\chi_{a24}$  et possède 5 sommets exposés, et cette réalisation est équivalente à n'importe quelle réalisation de  $\chi_{a1}$ , qui ne possède que 4 sommets exposés.

Une inspection plus minutieuse révèle le phénomène suivant : en premier lieu, dans n'importe quelle réalisation de la classe *a*, par exemple le chemin  $1 \rightarrow 4 \rightarrow 7$  tourne *autour* du « trou » du tore, tandis que dans n'importe quelle réalisation de la classe *b*, il tourne au *travers* du trou (c'est-à-dire, « autour du corps ») du tore.

Deuxièmement, il est en fait possible de trouver un mouvement continu débutant à une quelconque réalisation du tore de Möbius qui est topologiquement équivalent à la « rotation » d'un tore rond autour de son cercle intérieur. (Dans le cas d'une réalisation de la classe *a*, ce mouvement correspond à un chemin dans le graphe  $G(\mathcal{M}_s)$  passant par chacun des sous-graphes  $A_0, \beta A_0, \beta\alpha A_0, \dots$  qui sont décrits à la section 5.)

## 7. RÉALISATIONS SYMÉTRIQUES

En conclusion, on démontre la forme de quatre variantes essentielles de réalisations symétriques du tore de Möbius. On a tracé dans chaque cas les projections orthogonales du modèle en étapes successives de complétude. L'illustration suivante contient toujours les triangles précédents, les nouveaux triangles sont hachurés et ils sont situés par-dessus les précédents. On donne grossièrement la hauteur de chaque point par les valeurs croissantes 0, +, ++, +++, +++. On peut, dans une certaine mesure, choisir arbitrairement la valeur exacte. Ceci est aisément observable par la structure particulière de chaque exemple.

"hole" of the torus, whereas in any realization from the b-class it runs through the hole (i.e. "around the *body*") of the torus.

Secondly, it is in fact possible to find a continuous motion of starting at any realization of Möbius' torus that is topologically equivalent to the "rotation" of a round torus around the circle in its interior. (In the case of a realization from the a-class, this motion corresponds to a path in the graph  $\mathcal{G}(\mathcal{M}_s)$  that passes each of the subgraphs  $A_0, \beta A_0, \beta\alpha A_0, \dots$  that are described in Section 5.)

## 7. SYMMETRIC REALIZATIONS

In conclusion, we demonstrate the shape of four essential variants of symmetric realizations of Möbius' torus. In each case we have drawn orthogonal projections of the model in successive stages of completeness. The next picture always contains the previous triangles, the new triangles are striped, and they are located on top of the foregoing. The height of each point is given roughly by the increasing values  $0, +, ++, +++, +++, +++++$ . The exact value can be chosen arbitrarily up to a certain extent. This is seen easily from the particular structure for each example.

**Figure 4** shows Császár's example with the extreme points 1, 2, 3, 4, 7 and the symmetry  $(2)(13)(47)(56)$ , (type a24).

La **figure 4** montre l'exemple de Császár avec comme points extrêmes 1, 2, 3, 4, 7 et comme symétrie  $(2)(13)(47)(56)$ , (type a24).

De la liste des bases signées

signe[1234] = +	signe[1235] = +	signe[1236] = -	signe[1237] = -
signe[1245] = -	signe[1246] = -	signe[1247] = -	signe[1256] = -
signe[1257] = -	signe[1267] = -	signe[1345] = +	signe[1346] = +
signe[1347] = +	signe[1356] = +	signe[1357] = +	signe[1367] = +
signe[1456] = +	signe[1457] = +	signe[1467] = +	signe[1567] = +
signe[2345] = -	signe[2346] = -	signe[2347] = -	signe[2356] = -
signe[2357] = -	signe[2367] = -	signe[2456] = -	signe[2457] = -
signe[2467] = +	signe[2567] = +	signe[3456] = -	signe[3457] = -
signe[3467] = -	signe[3567] = -	signe[4567] = -	signe[4567] = -

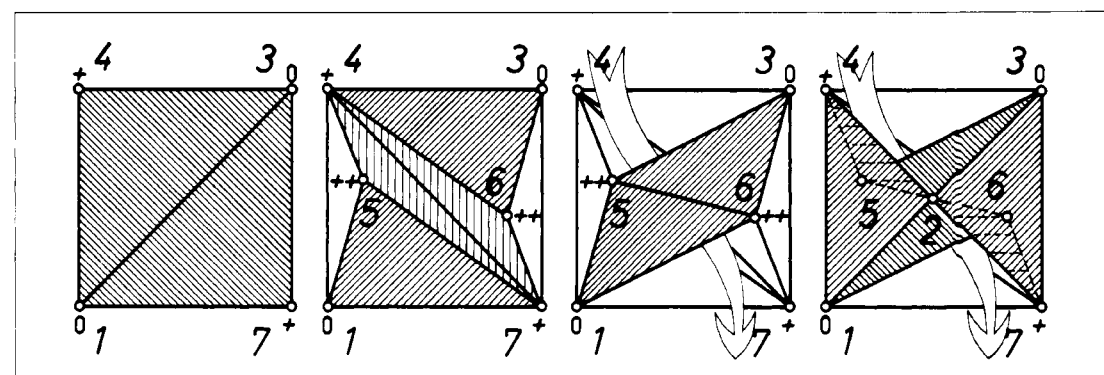
il est maintenant facilement vérifiable que les points 1, 3, 4 déterminent une face. Ou que le plan contenant 1, 2, 4 sépare 5 de 3, 6, 7.

L'exemple suivant, la **figure 5**, tient lieu de représentant pour les types a1, ..., a5 selon le choix des points 5 et 7.

La **figure 6** tient lieu de représentant pour les matroïdes orientés de Möbius b1, b2 ou b3 selon le choix des points 5 et 7.

Enfin, la **figure 7** montre les types de réalisations correspondant à b46, b47 ou b48 selon le choix des points 6 et 7.

FIGURE 4



### From the list of signed bases

$\text{sign}[1234] = +$	$\text{sign}[1235] = +$	$\text{sign}[1236] = -$	$\text{sign}[1237] = -$
$\text{sign}[1245] = -$	$\text{sign}[1246] = -$	$\text{sign}[1247] = -$	$\text{sign}[1256] = -$
$\text{sign}[1257] = -$	$\text{sign}[1267] = -$	$\text{sign}[1345] = +$	$\text{sign}[1346] = +$
$\text{sign}[1347] = +$	$\text{sign}[1356] = +$	$\text{sign}[1357] = +$	$\text{sign}[1367] = +$
$\text{sign}[1456] = +$	$\text{sign}[1457] = +$	$\text{sign}[1467] = +$	$\text{sign}[1567] = +$
$\text{sign}[2345] = -$	$\text{sign}[2346] = -$	$\text{sign}[2347] = -$	$\text{sign}[2356] = -$
$\text{sign}[2357] = -$	$\text{sign}[2367] = -$	$\text{sign}[2456] = -$	$\text{sign}[2457] = -$
$\text{sign}[2467] = +$	$\text{sign}[2567] = +$	$\text{sign}[3456] = -$	$\text{sign}[3457] = -$
$\text{sign}[3467] = -$	$\text{sign}[3567] = -$	$\text{sign}[4567] = -$	

it is now easy to check that the points 1, 3, 4 determine a facet. Or that the plane containing 1, 2, 4 separates 5 from 3, 6, 7.

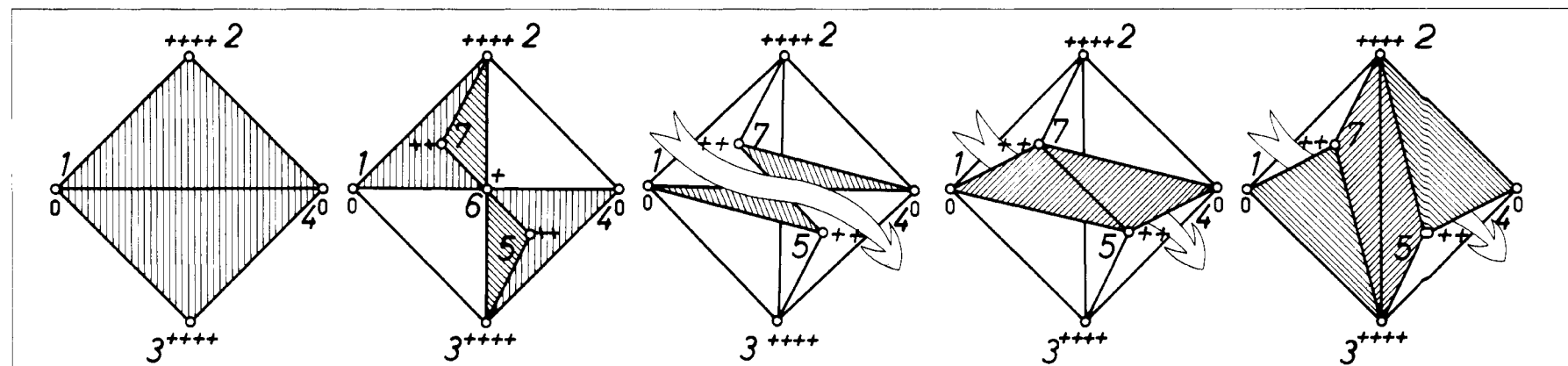
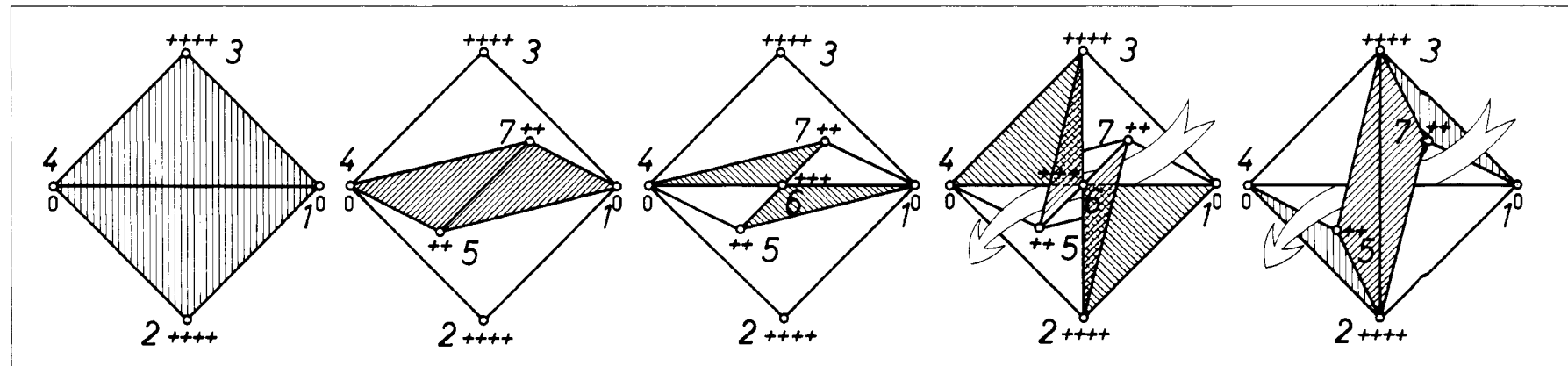
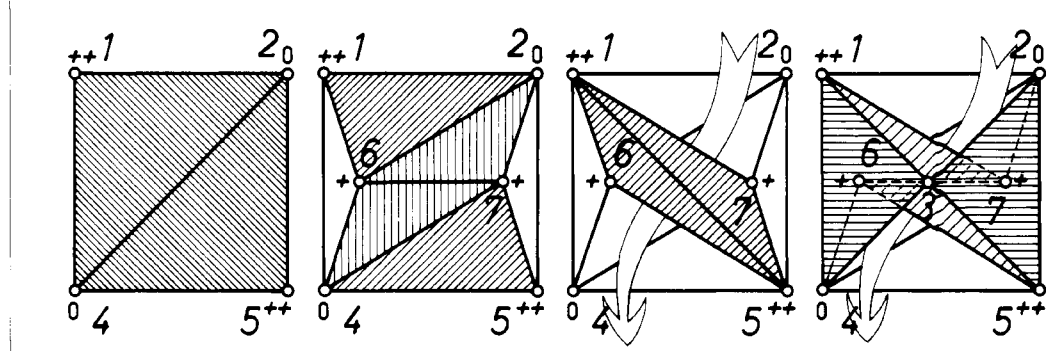
The next example, **Figure 5**, stands as a representative for types  $a_1, \dots, a_5$  depending on the choice of the points 5 and 7.

**Figure 6** stands as a representative for the Möbius oriented matroids  $b_1, b_2$  or  $b_3$  depending on the choice of the points 5 and 7.

Finally, **Figure 7** shows the realization types corresponding to  $b_{46}, b_{47}$  or  $b_{48}$  depending on the choice of the points 6 and 7.

### REFERENCES / RÉFÉRENCES

- [1] A. Altshuler  
"Polyhedral realization in  $R^3$  of triangulations of the torus and 2-manifolds in cyclic 4-polytopes." *Discr. Math.* 1, No.3 (1971), 211–238.
- [2] A. Altshuler  
"Hamiltonian circuits in some maps on the torus." *Discr. Math.* 1, No.4 (1972), 299–314.
- [3] A. Bachem  
"Convexity and Optimization in discrete Structures." In "Convexity and Applications", P.M. Gruber, J.M. Wills (Eds.), Birkhäuser, Basel (1983).
- [4] D. Barnette  
"Polyhedral maps on 2-manifolds. Convexity and related combinatorial geometry." Proceedings of the Second University of Oklahoma Conference, ed. Kay, D.C.; Breen, M.
- [5] D. Barnette  
"All triangulations of the projective plane are geometrically realizable in  $E^4$ ." *Israel J. Math.* 44,1 (1983) 75–87.
- [6] U. Betke, P. Gritzmann  
"Polyedrische 2-Mannigfaltigkeiten mit wenigen nicht-konvexen Ecken." *Mh. Math.* 97 (1984), 1–21.
- [7] R. Bland, M. Las Vergnas  
"Orientability of matroids." *Journ. Comb. Theory Ser. B* 24 (1978), 94–123.
- [8] J. Bokowski, J. Richter-Gebert  
On the classification of non-realizable oriented matroids. Part I: generation, Part II: properties. Manuscript (1990), 23 p.
- [9] J. Bokowski, B. Sturmfels  
"Computational synthetic geometry." Lecture Notes in Mathematics, Springer 1355, Heidelberg (1989).
- [10] D.W. Crowe  
"Steiner triple systems, Heawood's torus coloring, Császár's polyhedron, Room designs, and bridge tournaments." *Delta*, 3 (1972), 27–32.
- [11] A. Császár  
"A polyhedron without diagonals." *Acta Sci. Math. Szeged.*, 13 (1949), 140–142.
- [12] R.A. Duke  
"Geometric embedding of complexes." *Amer. Math. Monthly*, 77 (1970), 597–603.
- [13] B. Grünbaum  
Convex Polytopes. Interscience Publ., London (1967).
- [14] P.J. Heawood  
"Map Color Theorem." *Quart. J. Pure Appl. Math.*, 24 (1890), 332.
- [15] W. Kühnel  
"Higher-dimensional analogues of Császár's torus." *Results in Mathematics*, 9 (1986), 95–106.
- [16] M. Las Vergnas  
"Convexity in Oriented Matroids." *Journ. Comb. Th. Ser. B*, 29 (1980), 231–243.
- [17] A.F. Möbius  
*Gesammelte Werke II.* Hrsg. Felix Klein, Neudruck der Ausgabe von 1886, 1967, p.552 ff.
- [18] J. Reay  
"Unsolved problems: Can neighborly polyhedra be realized geometrically?" In "Shaping Space, A Polyhedral Approach" M. Senechal and G. Fleck (eds.), Birkhäuser, Boston-Basel (1988), 251–253.
- [19] C. Reinhard  
"Zu Möbius' Polyedergeometrie." Berichte der Königlich sächsischen Gesellschaft der Wissenschaften (1885).
- [20] K.S. Sarkaria  
"On neighborly triangulations." *Trans. Am. Math. Soc.*, 277, No.1 (1983), 213–239.
- [21] G. Ringel  
"Teilungen der Ebene durch Geraden oder topologische Geraden." *Math. Z.*, 64 (1956), 103–114.
- [22] J. Simutis  
"Geometric realizations of toroidal maps." Ph.D. thesis, Univ. of California, Davis (1977).

FIGURE 5 .<sup>jjj</sup>FIGURE 6 .<sup>jjb</sup>FIGURE 7 .<sup>jz</sup>

**APPENDIX / ANNEXE****TABLE 1 / TABLEAU 1**

List of all simplicial Möbius matroid manifolds  
(up to  $H_{CM}$ -equivalence). Signed bases 1234, 1235,  
1236, ..., 4567.

Liste de toutes les variétés matroïdes simpliciales  
de Möbius (à une  $H_{CM}$ -équivalence près). Bases si-  
gnées 1234, 1235, 1236, ..., 4567.

a 1	++++-----+-----+-----+-----+
a 2	++++-----+-----+-----+-----+
a 3	++++-----+-----+-----+-----+
a 4	++++-----+-----+-----+-----+
a 5	++++-----+-----+-----+-----+
a 6	++-----+-----+-----+-----+
a 7	++-----+-----+-----+-----+
a 8	++-----+-----+-----+-----+
a 9	++++-----+-----+-----+-----+
a10	++++-----+-----+-----+-----+
a11	++-----+-----+-----+-----+
a12	++-----+-----+-----+-----+
a13	++++-----+-----+-----+-----+
a14	++++-----+-----+-----+-----+
a15	++++-----+-----+-----+-----+
a16	++++-----+-----+-----+-----+
a17	++++-----+-----+-----+-----+
a18	++++-----+-----+-----+-----+
a19	++++-----+-----+-----+-----+
a20	++++-----+-----+-----+-----+
a21	++++-----+-----+-----+-----+
a22	++++-----+-----+-----+-----+
a23	++++-----+-----+-----+-----+
a24	++++-----+-----+-----+-----+

**TABLE 2 / TABLEAU 2**

Symmetries in the symmetric cases  
(see also Figures 4-7):

Symétries dans les cas symétriques  
(voir aussi les figures 4-7):

a 1	(6)(14)(23)(57)
a 2	(6)(14)(23)(57)
a 3	(6)(14)(23)(57)
a 4	(6)(14)(23)(57)
a 5	(6)(14)(23)(57)
a24	(2)(13)(47)(56)
b 1	(6)(14)(23)(57)
b 2	(6)(14)(23)(57)
b 3	(6)(14)(23)(57)
b46	(3)(15)(24)(67)
b47	(3)(15)(24)(67)
b48	(3)(15)(24)(67)

b 1	+++++-----+-----+-----+-----+
b 2	+++++-----+-----+-----+-----+
b 3	+++++-----+-----+-----+-----+
b 4	+++++-----+-----+-----+-----+
b 5	+++++-----+-----+-----+-----+
b 6	+++++-----+-----+-----+-----+
b 7	+++++-----+-----+-----+-----+
b 8	+++++-----+-----+-----+-----+
b 9	+++++-----+-----+-----+-----+
b10	+++++-----+-----+-----+-----+
b11	+++++-----+-----+-----+-----+
b12	+++++-----+-----+-----+-----+
b13	+++++-----+-----+-----+-----+
b14	+++++-----+-----+-----+-----+
b15	+++++-----+-----+-----+-----+
b16	+++++-----+-----+-----+-----+
b17	+++++-----+-----+-----+-----+
b18	+++++-----+-----+-----+-----+
b19	+++++-----+-----+-----+-----+
b20	+++++-----+-----+-----+-----+
b21	+++++-----+-----+-----+-----+
b22	+++++-----+-----+-----+-----+
b23	+++++-----+-----+-----+-----+
b24	+++++-----+-----+-----+-----+
b25	+++++-----+-----+-----+-----+
b26	+++++-----+-----+-----+-----+
b27	+++++-----+-----+-----+-----+
b28	+++++-----+-----+-----+-----+
b29	+++++-----+-----+-----+-----+
b30	+++-----+-----+-----+-----+
b31	+++-----+-----+-----+-----+
b32	+++-----+-----+-----+-----+
b33	+++-----+-----+-----+-----+
b34	+++-----+-----+-----+-----+
b35	+++-----+-----+-----+-----+
b36	+++-----+-----+-----+-----+
b37	+++-----+-----+-----+-----+
b38	+++-----+-----+-----+-----+
b39	+++-----+-----+-----+-----+
b40	+++-----+-----+-----+-----+
b41	+++-----+-----+-----+-----+
b42	+++-----+-----+-----+-----+
b43	+++-----+-----+-----+-----+
b44	+++-----+-----+-----+-----+
b45	+++-----+-----+-----+-----+
b46	+++-----+-----+-----+-----+
b47	+++-----+-----+-----+-----+
b48	+++-----+-----+-----+-----+